

1961—2018 年中国地表温度变化的区域差异*

高璇^{1,2,a}, 赵东升^{1,a}, 郑度^{1,2}

1 中国科学院地理科学与资源研究所, 陆地表层格局与模拟院重点实验室, 北京 100101

2 中国科学院大学, 北京 100049

摘要 IPCC 指出增温应包涵三方面, 即均值偏移、变率增大、对称性改变。然而, 目前对于地表增温主要关注的仍是均值的变化, 这会影响对于地表增温的全面认识。本研究基于 1961—2018 年 590 个气象站点的逐日温度数据, 利用平均温度, 温度方差和高温时间分别量化了均值偏移、变率增大、对称性改变 3 个指标, 进而分析了中国地表温度变化趋势的空间格局。结果发现, 在研究时段内平均温度呈现明显的增加趋势, 但在 1986 年前后存在两个相反的变化趋势: 1986 年前, 平均温度为减小趋势, 而 1986 年后为显著增温趋势。在 1961—2018 年, 高温时间出现提前的站点数(63.6%)多于出现滞后的站点数(36.4%)。温度方差在 1961—1986 年为明显的减小趋势, 但在 1986—2018 年为明显的增大趋势。此外, 平均温度, 温度方差和高温时间的变化具有明显空间异质性。具体而言: 1961—1986 年, 高温时间推迟, 平均温度下降, 温度方差下降的站点数最多, 占总站点数的 23.9%, 主要分布在亚热带地区; 而 1986—2018 年, 高温时间推迟, 平均温度上升, 温度方差增大的站点数量最多, 占到总站点数的 41.5%, 空间分布不均。各温度指标年际变异的空间格局, 体现了中国不同地区对地表增温的敏感性差异。同时关注平均温度、温度方差和高温时间变化能较全面反映气候系统

收稿日期 2022-6-16 网络预出版日期

^a 高璇和赵东升为共同一作

*作者简介 高璇, 女, 1994 年出生, 博士研究生, 主要从事气候变化方面的研究。E-mail: gaox19b@igsnrr.ac.cn

通讯作者 赵东升, 男, 1978 年出生, 副研究员, 主要从事气候变化的影响及适应研究。E-mail: zhaods@igsnrr.ac.cn

资助项目 国家重点研发计划项目“大都市区多灾种重大自然灾害风险综合防范关键技术研究与示范”(编号: 2017YFC1503003); 国家自然科学基金重点项目“中国陆地表层自然地域系统动态及其驱动机制”(编号: 41571193)

Founded by National Key Research and Development Program of China “Research and demonstration of key technologies for integrated risk prevention of multiple natural disasters in metropolitan areas” (Grant No.2017YFC1503003); The National Natural Science Foundation of China “Dynamic territorial system of China and its driving mechanism” (Grant No.41571193)

20 变化的特点，有助于预估未来气候变化风险，对于国家制定气候变化减缓和适应
21 战略具有重要意义。

22 **关键词：**地表温度，分段回归，变化趋势，区域差异，中国

23 **文章编号：**2021130B **中图分类号：**P467 **文献标志码：**A

24 **doi:** 10.3878/j.issn.1006-9895.2204.21130

25 **Regional differences in surface temperature variation in China**
26 **from 1961 to 2018**

27 GAO Xuan^{1,2}, ZHAO Dongsheng¹, ZHENG Du^{1,2}

28 1 *Key laboratory of land surface pattern and simulation, Institute of Geographical Sciences and*
29 *Natural Resources Research, Chinese Academy of Sciences, Beijing 100101*

30 2 *University of Chinese Academy of Sciences, Beijing 100049*

31 **Abstract** The IPCC indicates that warming should include three types of shifted mean,
32 increased variability, and changed symmetry. However, at present, the main concern
33 of warming is still shifted mean, which affects the overall understanding of surface
34 warming. In this study, based on daily temperature data from 590 meteorological
35 stations during 1961—2018, we quantified indicators of shifted mean, increased
36 variability, and changed symmetry using mean temperature, temperature variance, and
37 high-temperature date, respectively. Then we revealed the spatial pattern of trends in
38 mean temperature, temperature variance, and high-temperature date across China. It
39 was found that, although the mean temperature exhibited a significant increasing
40 trend over the whole study period, the trend was reversed around 1986, with a
41 decreasing trend before 1986 and a significant warming trend after 1986. During 1961
42 —2018, the number of stations with an advance in the high-temperature date (63.6%)

43 was greater than that with a delay (36.4%). In addition, the temperature variance
44 showed a significant decreasing trend from 1961 to 1986, but a notable increasing
45 trend from 1986 to 2018. Overall, variation in mean temperature, temperature
46 variance, and high-temperature date had large spatially heterogeneity. From 1961 to
47 1986, the stations with delayed high-temperature date, decreasing mean temperature,
48 and decreasing temperature variance were the most numerous, accounting for 23.9%
49 of the total, and mainly distributed in the subtropical region; while during 1986 to
50 2018, the stations showing a delayed high-temperature date as well as increases in
51 mean temperature and temperature variance were the most numerous, accounting for
52 41.5% of observed stations, with a more scattered spatial distribution. The regional
53 variability in the trend changes of different temperature indicators reflects the
54 heterogeneity of global change sensitivity in different regions. Therefore, studies that
55 simultaneously focus on the changes of mean temperature, high-temperature date, and
56 temperature variance can better reflect the characteristics of climate change and help
57 predict the future climate change risk, which is of great significance to develop
58 mitigation and adaptation policy frameworks for climate change in China.

59 **Keywords:** surface temperature, piecewise regression, trends, regional differences,
60 China

61 62 1 引言

63 过去的一个世纪，全球变暖已经成为国际社会广泛关注的问题。受人类活动
64 影响，1880—2012年，全球平均地表温度升高了约0.85°C (IPCC, 2013)。以全
65 球变暖为主要特征的气候变化对陆地生态系统和社会经济系统产生重要影响
66 (Cheng et al., 2021; Holst et al., 2013)。一方面，全球变暖对植被的生长产生积

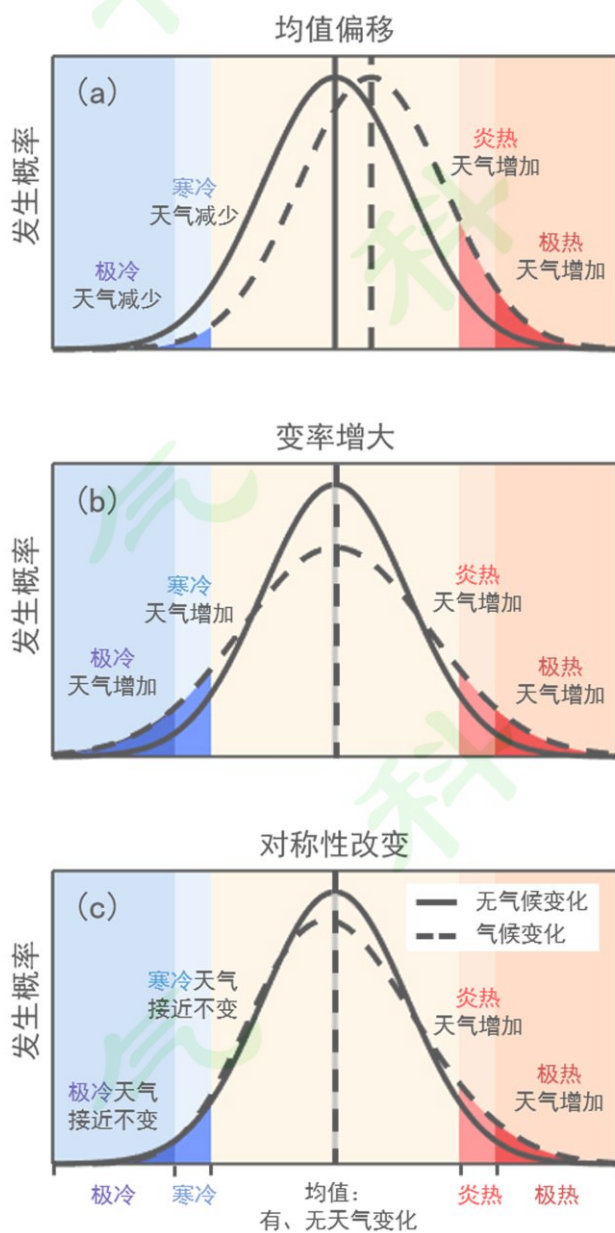
67 极作用，特别是高纬度和高海拔地区，气候变暖促进了植物的光合作用，导致生
68 长季延长，植被生产力提高（Wang et al., 2011; Wei et al., 2018）。另一方面，气
69 候变暖加剧了冰川消融和冻土退化，引发一系列生态环境问题（Kaab et al.,
70 2007）。此外，伴随升温，全球降水格局发生改变，极端天气气候事件（如高温
71 热浪、极端干旱、洪涝等）发生的频率和强度发生明显增加（Anderegg et al., 2013;
72 Liu and Zhang, 2020; Utsumi et al., 2011），导致植被对环境的适应能力发生改变，
73 生态系统脆弱性增强，显著影响生态系统服务的提供，并威胁人类生存环境及社
74 会经济的可持续发展（傅伯杰等, 2017）。因此，全面、准确的认识气候变化的区
75 域格局及空间差异，对于减轻自然灾害损失，调整农业结构，制定合理政策等非
76 常重要，成为众多领域的研究热点，受到各国政府和学者的普遍关注。

77 由于不同区域气候变化指标（如降水、温度、蒸散等）在不同的时空尺度上
78 具有不同的变化模式，不同区域内气候变化的影响也不尽相同（Yuan et al.,
79 2021）。因此，气候变化研究就需要从区域角度来分析其变化的特征。早期，中
80 国气候区划主要是根据不同气候指标的年均值来表征气候的区域差异（黄秉维，
81 1958；郑景云等, 2010）。黄秉维（1958）根据气候、土壤、植物的相似性和差异
82 性拟定了中国综合自然区划图，并进而按区划单位来认识自然综合体（即自然的
83 总情况）的发生、发展与分布的规律。近几年，随着全球气候变化的加剧，很多
84 学者从气候变化的趋势及波动特征定量识别气候变化，并对我国进行了一系列新的
85 气候区划分（Shi et al., 2014; Yuan et al., 2021）。其中，Shi et al.（2014）根据
86 历史（1961—2010 年）温度和降水量的变化趋势，将中国划分为 5 个气候变化
87 趋势带，又根据温度和降水量的波动特征在一级区划基础上划分为 14 个气候波
88 动特征区。另外，Yuan et al.（2021）建立了一种基于 k-mean++ 算法的地表温度
89 变化模式识别方法，通过聚类评价指标来选择最优聚类数，在国家尺度上，将中
90 国 1960—2016 年地表温度的变化格局分为了 3 类。

91 温度变化是气候变化最重要的表征指标。IPCC（2012）将温度的变化与概
92 率分布的均值、变率和对称性的改变联系在一起，认为温度变化应包括均值偏移
93 （图 1a）、变率增大（图 1b）和对称性改变（图 1c）三个方面。全球变暖背景
94 下，三方面相互作用，相互影响，进而导致极端温度事件发生的频率、强度、空
95 间范围、发生时间及持续时间发生变化，并可能导致前所未有的极端事件（IPCC,
96 2012; Ummenhofer and Meehl, 2017）。一般来说，极端温度变化会对陆地生态系
97 统的结构、功能和过程产生较大影响（Liu et al., 2018; Salvucci and Crafts-Brandner,
98 2004）。比如，在极端高温下，植被的呼吸作用增强，而光合作用减弱甚至停滞，
99 从而导致生态系统生产力下降（Salvucci and Crafts-Brandner, 2004）；而对于极端
100 低温事件，尽管随着气候变暖，霜冻事件（日最低温度低于 0℃）天数减少，但
101 植被生长期发生的霜冻事件不一定减少，甚至在某些地区发生增加，而生长期的
102 极端低温会造成植被发育缓慢，甚至导致植被死亡（Liu et al., 2018）。然而，当
103 前多数的研究主要关注平均温度变化，无法全面表征增温的实际情况。这可能会影响
104 对于增温的认识，以及一些对极端温度影响的分析。温度变化每个方面的影响
105 是不同的，各种组合的影响也是不一致的。明确区分温度变化的不同形式也很
106 重要，因为它们可能通过不同的机制发挥作用，并可能产生不同的自然生态系统
107 影响（van de Pol et al., 2017）。综合关注温度均值偏移、变率增大、对称性改变，
108 对于气候变化陆地生态系统的影响研究，及减轻自然灾害，调整农业结构，制定
109 政策等至关重要。

110 气候变暖背景下，为了探究中国温度变化不同方面的时空特点，本文利用中
111 国地面气象站逐日气温观测资料，将均值偏移、变率增大、对称性改变 3 个温度
112 变化的不同方面分别量化为平均温度、温度方差和高温时间 3 个指标。基于气候
113 区划，利用线性回归模型、分段线性回归模型、Mann-Kendall 非参数检验等方法，
114 本研究综合分析了 1961—2018 年中国温度变化的时空格局，并对不同时期（1961

115 —1986年和1986—2018年的温度变化特征进行了对比研究。全面、准确的认
116 识和评估温度变化的时空特点，对于我国制定应对气候变化战略、实现碳中和目
117 标具有重要意义，同时为生态治理和保护决策提供依据。

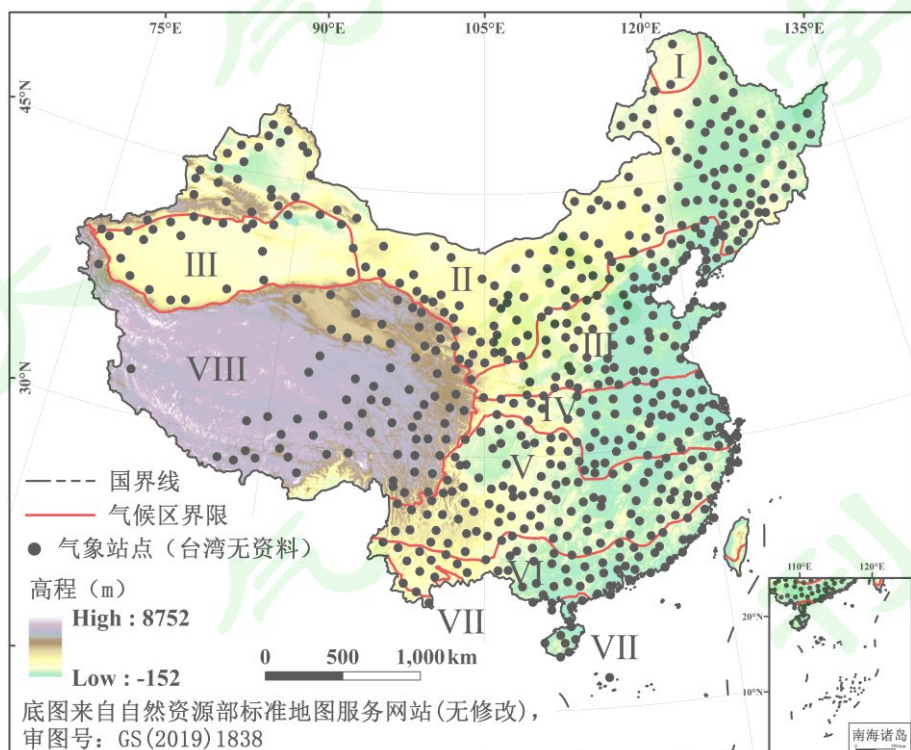


118
119 图1 温度分布变化对极端气候事件的潜在影响。图片来源：IPCC（2012）
120 Fig. 1 The effect of changes in temperature distribution on extremes. Figure source:
121 IPCC (2012)

122 2 数据与方法

123 2.1 数据来源

124 本研究中，数据来源于国家气象科学数据中心（<http://data.cma.cn>
125 [2021-09-18]）934个站点的日观测资料，包括1961—2018年各站点的经度，纬
126 度，逐日气温数据。该数据集经过了严格的质量检查和同质性检验（中国气象
127 局, 2003），并被广泛应用于气候变化的研究(Yuan et al., 2021; Zhang et al., 2021)。
128 为了保证数据的完整性和连续性。本研究对一年内缺失值少于5%的站点进行线
129 性回归的插值处理。插值后，删除年数缺失值超过5年的站点。最后剩余可用站
130 点590个（图2）。空间上，青藏高原地区的站点分布不均匀，主要集中在中部
131 和东部，西部稀疏。此外，台湾地区无数据。



133 图2 中国气象站点分布及气候分区

134 Fig. 2 Distribution of meteorological stations and climatic regionalization in China

135

136

137 2.2 研究方法

138 2.2.1 趋势分析

139 为了检测各指标(平均温度、高温时间、温度方差)在某一时期的变化趋势，

140 使用最小二乘法进行线性回归分析，用斜率来表示变化趋势。计算如下：

141
$$y = a + bt + \varepsilon \quad (1)$$

142 式(1)中， y 为气候指标， t 为年份， a 和 b 为拟合变量(a 为截距， b 为趋势)， ε
143 为残差。

144 长时间序列的数据变化可能具有阶段性，即存在趋势的转折点。为了确定平
145 均温度年际变化趋势的转折点，我们采用了分段回归模型(Toms and Lesperance,
146 2003)。该模型试图寻找时间序列数据趋势的潜在转折点，并在转折点前后分别
147 进行线性拟合，使拟合残差平方和最小的转折点和斜率作为分段拟合的最优解。
148 该模型在许多研究中已经得到广泛的应用(Wang et al., 2011; Xu et al., 2017)。

149
$$y = \begin{cases} \beta_0 + \beta_1 t + \varepsilon, & t \leq \alpha \\ \beta_0 + \beta_1 t + \beta_2(t - \alpha) + \varepsilon, & t > \alpha \end{cases} \quad (2)$$

150 式(2)中， y 为年平均温度， t 为年份， α 为温度数据的转折点， β_0 、 β_1 和 β_2 为拟
151 合变量， ε 为残差， β_1 和 $\beta_1 + \beta_2$ 分别为转折点前后的斜率，即转折点前后的年均温
152 的变化趋势。为了避免线性回归中数据过少，我们选取转折点时间为1970—2010
153 年。

154 2.2.2 高温时间

155 气候变化主要通过改变一些关键生物温度阈值来影响植被的生长和分布
156 (Zhao and Wu, 2016)。气候学中，常以连续5日温度通过某一阈值来表征入秋、
157 入冬等物候学重要节点(Pu and Zheng, 2015)。为表征温度对称性的变化，我们研究
158 了高温时间的年际变化规律。在本研究中，年内高温被定义为连续5日温度均值

159 的最大值，而高温时间被定义最大值出现的五天中的第一天时间。此外，采用儒
160 略日（Julian days）换算方法，将高温时间转化为距 1 月 1 日的实际日数，即年
161 序列累积日数（Fan et al., 2015）。

162 2.2.3 温度方差

163 本文采用温度方差的变化来表征温度变率的改变（高庆九等, 2010）。温度方
164 差越大表示年内温度变率越大，温度方差越小则年内温度变率越小。计算公式如
165 下：

$$166 \quad \delta_i^2 = \frac{\sum_{j=1}^N (T_j - \bar{T})^2}{N} \quad (3)$$

167 式（3）中， δ_i^2 为第 i 年温度方差， $^{\circ}\text{C}^2$ ； T_j 为第 i 年第 j 天的温度， $^{\circ}\text{C}$ ； \bar{T} 为第 i
168 年的平均温度， $^{\circ}\text{C}$ ； N 为第 i 年的总天数。

169 2.2.4 显著性检验

170 趋势的显著性检验采用 Mann-Kendall 法，该方法被广泛应用于监测气候和
171 环境等数据时间序列变化趋势的显著性（Kendall, 1990; Mann, 1945）。这种非参
172 数的检验方法比典型的参数方法更适用于非正态分布的数据，因为它不需要样本
173 遵从一定的分布，也不受少数异常值的干扰（Sneyers, 1990）。

174 2.2.5 中国气候区划

175 基于郑景云等（2010）的中国气候区划，本研究将中国划分为 8 个气候区（图
176 2；表 1）。郑景云等（2010）参照中国科学院《中国自然地理》编辑委员会制定
177 的气候区划三级指标体系，对我国气候进行了重新区划，结果将我国划分为 12
178 个温度带。考虑到青藏高原地区 3 个温度带和热带地区 3 个温度带地理环境的相
179 似性，进行分别合并。基于 8 个气候区，我们讨论了 1961—2018 年中国平均温
180 度、高温时间及温度方差的区域变化特征。

181

182 表 1 1961—2018 年中国各气候区内的站点数

183 Table 1 Number of stations within various climatic regions of China over the period

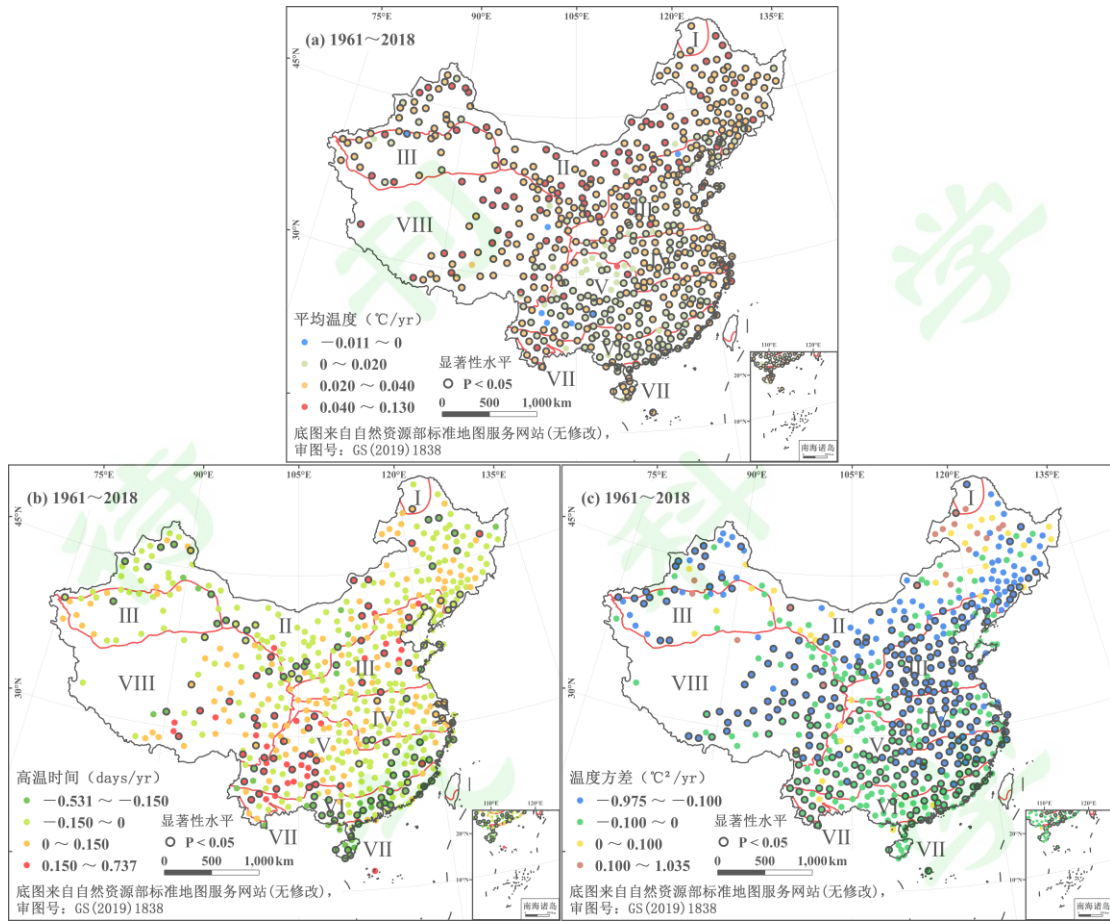
184 1961—2018

符号	气候区	站点数
I	寒温带	2
II	中温带	169
III	暖温带	109
IV	北亚热带	56
V	中亚热带	112
VI	南亚热带	56
VII	热带	15
VIII	青藏高原地区	71
China	全国	590

185

186 3 结果分析

187 3.1 温度年际变化趋势的空间分布



188
189 图 3 1961—2018 年中国平均温度 (a), 高温时间 (b) 和温度方
190 垛的空间分布

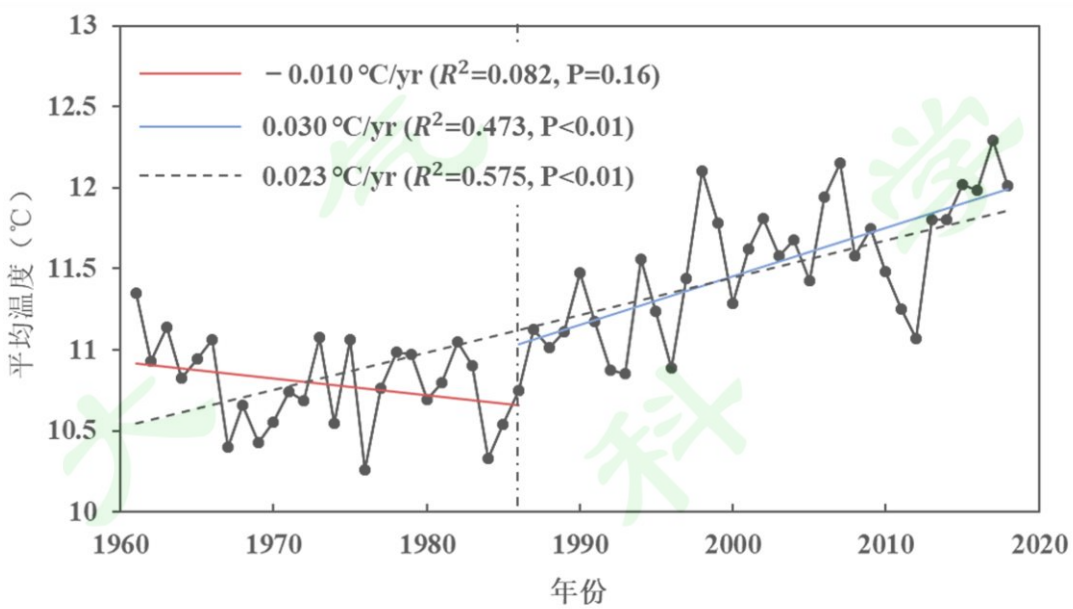
191 Fig. 3 Spatial distribution of trends of mean temperature (a), high-temperature date (b)
192 and temperature variance (c) in China during 1960—2018

193
194 图 3 为 1961—2018 年中国平均温度 (图 3a), 高温时间 (图 3b) 和温度方
195 差 (图 3c) 变化趋势的空间分布图。1961—2018 年, 8 个气候区都呈现明显的
196 升温趋势, 增温趋势站点占到 98.8%, 其中 554 个站点 (93.9%) 通过 0.05 显著
197 性检验。但尽管增温现象明显, 不同区域增温幅度存在明显差异性。秦岭—淮河
198 一线以北地区显著高于南部地区, 青藏高原地区显著高于同纬度的以东地区。从
199 1961—2018 年中国高温时间的变化趋势分布图发现, 在整个研究期, 高温时
200 出现提前的站点数 (63.6%) 多于出现滞后的站点数 (36.4%)。空间上, 高温时

201 间出现较明显滞后 (>0.150 days/yr) 的站点主要分布在 V 地区西部和 III 地区东
202 部, 而呈现明显提前趋势 (<-0.150 days/yr) 的站点主要集中在 VI 和 VII 地区。
203 为了描述温度年内的波动情况, 本研究进一步分析了温度方差的变化趋势。1961
204 —2018 年, 91% 站点的温度方差呈现出减小趋势, 其中 50% 通过 0.05 显著性检
205 验。尽管温度方差减小趋势明显, 但空间上存在差异性。较大减小趋势 ($<-0.100^{\circ}\text{C}$
206 $^2/\text{yr}$) 的站点主要分布在 III、IV 地区和 IV 地区的东部。

207

208 3.2 平均温度变化转折点



209

210 图 4 中国平均温度在区域尺度上的年际变化。红线、蓝线和虚线分别表示 1961
211 —1986 年、1986—2018 年和 1961—2018 年期间的线性拟合。

212 Fig. 4 Interannual variations of mean temperature in China. The red and blue solid
213 lines represent linear fits during the period 1961—1986 and 1986—2018 of mean
214 temperature trend, respectively. The dash line indicates linear fits during the period of
215 1961—2018.

216

217 基于线性回归模型和分段线性回归模型，我们分析了 1961—2018 年中国平
218 均温度区域尺度上的年际变化趋势（图 4）。在区域尺度上，平均温度的转折点
219 出现在 1986 年。尽管在整个研究期，年平均温度呈现明显的增加趋势，每年升
220 高约 0.023°C ($R^2=0.575$, $P<0.01$)，但在 1986 年前后存在两个趋势相反的不同
221 时期。1961—1986 年，平均温度变化趋势不明显，呈弱的减小趋势；而 1986—
222 2018 年，均温表现出较大的增大趋势，为 $0.030^{\circ}\text{C}/\text{yr}$ ($R^2=0.473$, $P<0.01$)。总体
223 上，1961—1986 年为一个相对冷的时段，1986—2018 年为一个相对暖的时段。
224

225 3.3 不同时期温度变化趋势的空间格局

226 为了进一步分析中国温度变化趋势的空间格局，我们对比研究了 1961—
227 1986 年和 1986—2018 年平均温度，高温时间和温度方差趋势的时空变化特征(图
228 5；表 2)。1961—1986 年，温度呈现降低趋势的站点有 326 个，占到总站点数的
229 55.3% (图 5a)，而 1986—2018 年，95.6% 站点的平均温度呈现增加趋势，并且
230 78.0% 通过 0.05 显著性检验 (图 5b)。1961—1986 年，平均温度呈现下降趋势的
231 站点主要分布在 III 和 V 地区，1986—2018 年，平均温度变化趋势的空间格局与
232 1961—2018 年的空间格局相似，北方地区和青藏高原地区增温幅度大于南方地
233 区。两个时期平均温度变化趋势的时空差异性进一步反应了两个时期气候存在明
234 显不同。图 5c 和图 5d 分别是 1961—1986 年和 1986—2018 年高温时间趋势变
235 化的空间分布图。1961—1986 年，52.0% 站点高温时间呈现推迟的趋势，仅 97
236 个站点通过 0.05 显著性检验，并且较大的推迟趋势 ($>0.15 \text{ days/yr}$) 主要分布在
237 III 地区、IV 地区，以及 V 地区的北部。1986—2018 年，高温时间出现推迟趋势
238 的站点占总站点数的 54.1%，其中 71 个站点通过 0.05 显著性检验。总体而言，
239 两个时期，高温时间的变化不明显。另外，我们分析了两个时期温度方差变化趋
240 势的时空格局 (图 5e；图 5f)。1961—1986 年，中国大部分站点 (71.7%) 温度

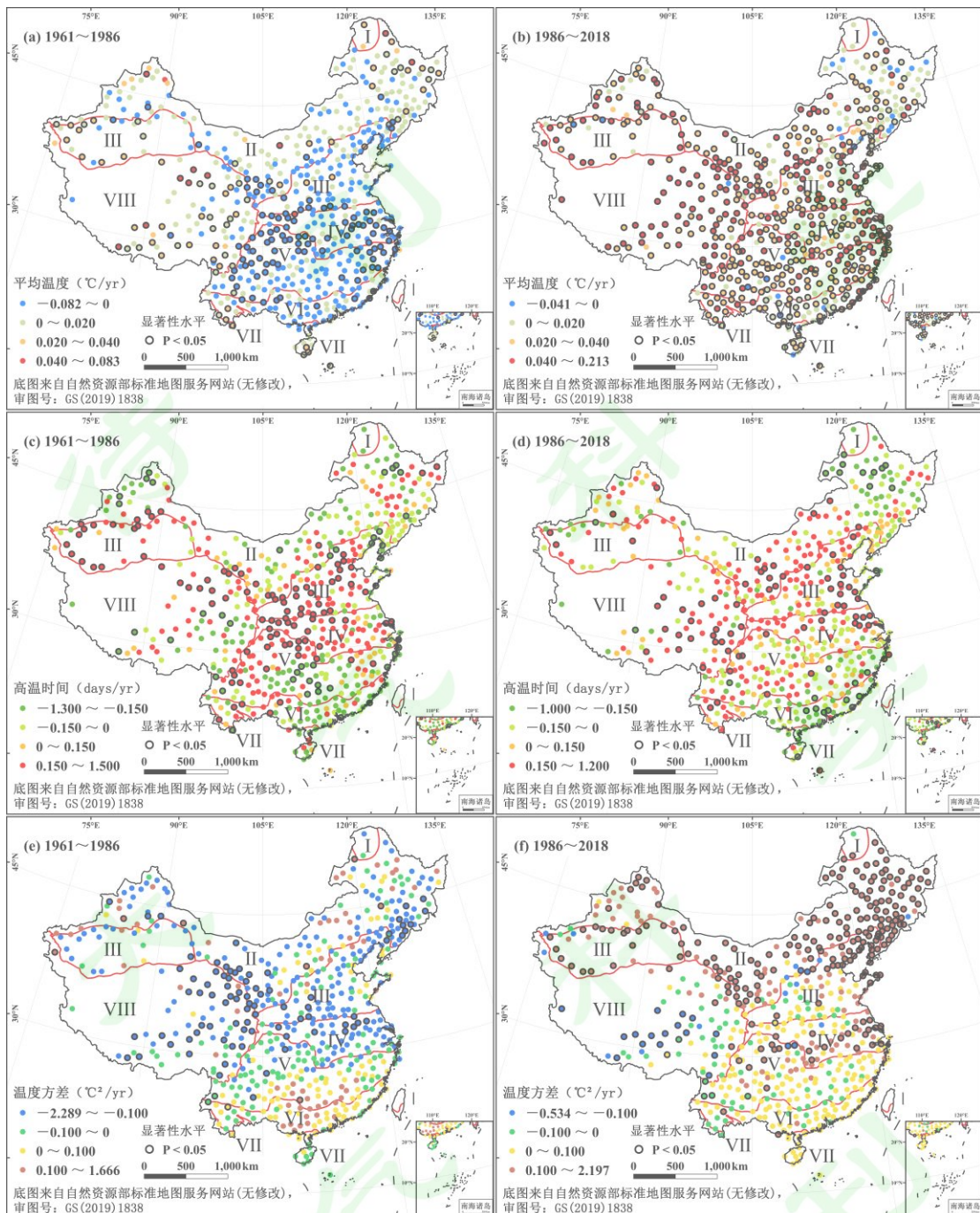
241 方差呈现减小趋势，其中 83 个站点（14.1%）通过 0.05 显著性检验。而温度方
242 差呈现增大趋势的站点主要分布在 VI 地区和 V 地区的南部。相比之下，1986—
243 2018 年，81.7% 站点的温度方差呈现增加趋势，并且 212 个站点（35.9%）通过
244 0.05 显著性检验。空间上，温度方差呈现减小趋势的站点主要集中在青藏高原地
245 区，而较大的增加趋势 ($>0.100^{\circ}\text{C}^2/\text{yr}$) 的站点主要分布在 II 地区。

246

247 表 2 1961—1986 年和 1986—2018 年高温时间，平均温度，温度方差不同变化
248 趋势所占比例，其中，‘≤’表示没有变化或下降趋势，‘>’表示增长趋势

249 Table 2 Percentage of different trends in mean temperature, high-temperature date,
250 and temperature variance during 1961—1986 and 1986—2018, the ‘≤’ represents a no
251 change or decreasing trend, and ‘>’ represents an increasing trend

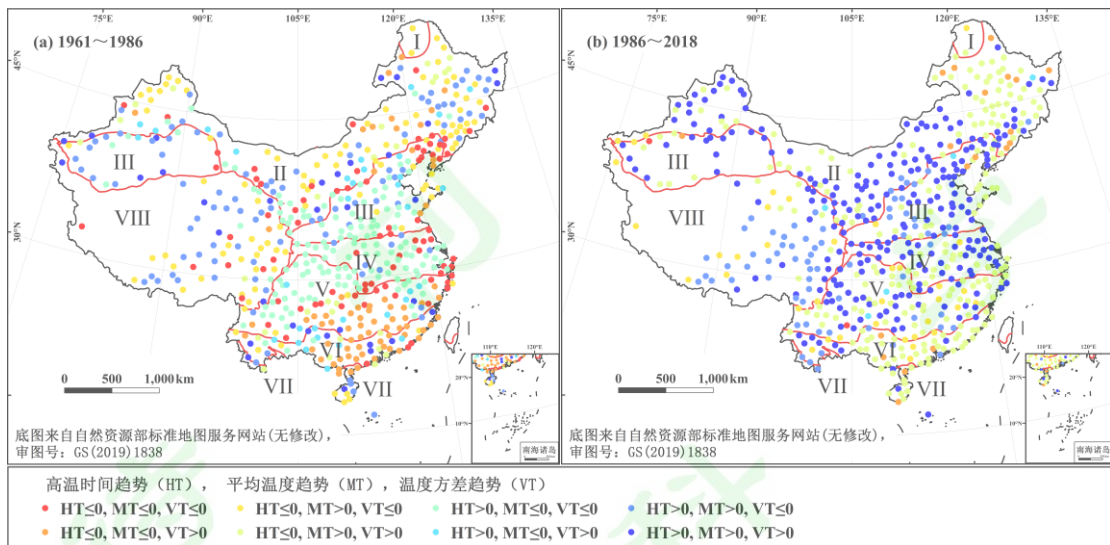
指标	趋势 (T)	1961—1986 年	1986—2018 年
		站点数 (百分比)	站点数 (百分比)
平均温度 (M)	MT≤0	326 (55.3%)	26 (4.4%)
	MT>0	264 (44.7%)	564 (95.6%)
高温时间 (H)	HT≤0	283 (48.0%)	271 (45.9%)
	HT>0	307 (52.0%)	319 (54.1%)
温度方差 (V)	VT≤0	423 (71.7%)	108 (18.3%)
	VT>0	167 (28.3%)	482 (81.7%)



252

253 图 5 1961—1986 年平均温度 (a), 高温时间 (c) 和温度方差 (e), 及 1986—
254 2018 年平均温度 (b), 高温时间 (d) 和温度方差 (f) 变化趋势的空间分布

255 Fig. 5 Spatial distribution of trends of mean temperature (a), high-temperature date (c)
256 and temperature variance (e) in China during 1961—2018; and spatial distribution of
257 trends of mean temperature (b), high-temperature date (d) and temperature variance (f)
258 in China during 1986—2018



259 图 6 1961—1986 年和 1986—2018 年高温时间、平均温度、温度方差变化趋势

260 的不同组合，其中，‘ \leq ’表示没有变化或下降趋势，‘ $>$ ’表示增加趋势

261
262 Fig. 6 Different combinations of high-temperature date, mean temperature, and
263 temperature variance trends during 1961—1986 and 1986—2018, the ‘ \leq ’ represents a
264 no change or decreasing trend, and ‘ $>$ ’ represents an increasing trend

265
266 此外，为了对比分析不同时期地表温度变化的特点，我们利用平均温度，高
267 温时间和温度方差年际变化趋势的大小，对 1961—1986 年和 1986—2018 年的各
268 站点分别进行分类（图 6；表 3）。1961—1986 年，高温时间推迟，平均温度下
269 降，温度方差下降的站点数最多，共 141 个，占总站点数的 23.9%，主要分布在
270 III、IV 地区，以及 V 地区的北部；其次是高温时间提前，平均温度上升，温度
271 方差下降的站点和高温时间推迟，平均温度升高，温度方差下降的站点，分别占
272 总站点数的 17.5% 和 16.8%。其中，高温时间提前，平均温度上升，温度方差下
273 降的站点主要分布在北方地区及青藏高原地区。另外，高温时间提前，平均温度
274 下降，温度方差增大的站点有较集中分布，主要集中在 V 地区的南部和 VI 地区。
275 与 1961—1986 年不同，在 1986—2018 年期间，高温时间推迟，平均温度上升，
276 温度方差增大的站点数量最多，占到总站点数的 41.5%，空间分布较散。其次，

277 高温时间提前，平均温度上升，温度方差增大的站点数量较多，占到总站点数的
278 36.1%，主要分布在 II、V 和 VI 地区。

279
280 表 3 1961—1986 年和 1986—2018 年高温时间，平均温度，温度方差不同变化
281 趋势组合类型所占比例，其中，‘≤’表示没有变化或下降趋势，‘>’表示增加趋势
282 Table 3 Percentage of different trend combination types of high-temperature date,
283 mean temperature, and temperature variance during 1961—1986 and 1986—2018, the
284 ‘≤’ represents a no change or decreasing trend, and ‘>’ represents an increasing trend

趋势类别	1961—1986 年	1986—2018 年
	站点数（百分比）	站点数（百分比）
HT≤0, MT≤0, VT≤0	80 (13.6%)	2 (0.3%)
HT≤0, MT≤0, VT>0	72 (12.2%)	19 (3.2%)
HT≤0, MT>0, VT≤0	103 (17.5%)	37 (6.3%)
HT≤0, MT>0, VT>0	28 (4.7%)	213 (36.1%)
HT>0, MT≤0, VT≤0	141 (23.9%)	0 (0%)
HT>0, MT≤0, VT>0	33 (5.6%)	5 (0.8%)
HT>0, MT>0, VT≤0	99 (16.8%)	69 (11.7%)
HT>0, MT>0, VT>0	34 (5.8%)	245 (41.5%)

285
286 4 讨论
287 本研究中，利用平均温度，高温时间，及温度方差分别量化了均值偏移、对
288 称性改变和变率增大三种温度变化的不同方面，并结合区域差异，分析了 1961
289 —2018 年中国地表温度变化的时空特点。

290 在整个研究期，地表温度呈现显著的上升趋势，但上升趋势在不同气候区之

291 间存在差异性。秦岭—淮河以北的地区，及青藏高原地区升温幅度大于南方地区。
292 温度的升高对自然生态系统和社会经济系统产生重要影响。气候变暖严重影响了
293 全球自然灾害的数量和变化，Zhu and Fan (2021) 研究了 1951—2010 年中国气
294 温上升与气候相关自然灾害的变化规律，发现与气候相关的自然灾害数量大幅增
295 加。另一方面，基于分段回归模型，发现平均温度在 1961—1986 年和 1986—2018
296 年变化趋势存在明显差异性。1986 年前地表平均温度为降低趋势，并且为一个
297 相对冷的时段；而 1986 年之后为明显的变暖趋势，这一时段相对较暖。这一结
298 果在过去一些研究中也得到印证。蒋冲等 (2012) 研究 1960—2011 年秦岭地区
299 平均温度发现，1993 年是气温变化的转折点，转折点前为降温趋势，此后为升
300 温趋势。王少鹏等 (2010) 使用分段回归方法分析了 1961—2014 年中国年均温
301 变化趋势，发现存在显著的转折点，中国平均升温开始于 1984 年。由于研究区
302 域及研究时段选择的差异性，温度转折点出现具体时间不同，但总体上在 20 世
303 纪 80, 90 年代左右。因此，过去关于中国近 60 年整体的增温速率明显低估了
304 20 世纪 80 年代中期之后的实际增温速率，掩盖了我国近 20 年来的快速增温。
305 与此同时，气候从一个相对冷的时段进入一个相对暖的时段也推动了中国多数关
306 键自然带发生明显的北移，如，北亚热带北界和暖温带北界 (吴绍洪等, 2016)。

307 过去的研究大多关注高温强度和极端高温天气出现日数的变化，较少关注其
308 出现时间的变化 (Ding and Ke, 2015; Zhu et al., 2017)。Ding and Ke (2015) 发现
309 1960—2013 年，中国高温热浪发生的频率和强度都呈现明显的增加趋势。未来，
310 中国仍将出现更多的极端高温天气，并且持续时间将会更长 (Zhu et al., 2017)。
311 然而，气候变化背景下，高温出现时间也可能发生改变，并可能会影响中国雨热
312 同期的气候特征，进而通过影响植被物候而影响植被生长 (Liu et al., 2019)。1961
313 —2018 年，中国大部分站点 (63.6%) 的高温时间出现提前，较明显提前趋势的
314 站点主要集中在 VI 和 VII 地区，而呈现滞后趋势的站点主要分布在 V 地区的西

315 部。这一空间格局与 Zhao et al. (2021) 通过高温集中期计算的结果基本一致。
316 生长季期间，高温较早的出现，会增加土壤和植被的蒸发量，从而增加水分的需
317 求，而此时降水的亏缺，可能会抑制植被的生长 (Zhao et al., 2021; 张妹婷等,
318 2017)。此外，伴随温度的升高和高温的提前，植被可能为了重新适应水热条件
319 而改变生长季峰值的出现 (Liu et al., 2021)。过去的研究发现碳固存更多地取决
320 于夏季光合作用的峰值 (Park et al., 2019)。

321 温度方差可以表征温度的波动性和变率。卢爱刚等 (2007) 分析 1951—2002
322 年中国年平均气温的方差，发现与纬度的变化有很强的相关性，纬度越高，方差
323 越大。此外，过去研究表明温度方差的增大与平均温度的升高相互作用，会导致
324 群落物候随时间发生变化 (Kutta and Hubbart, 2018; Mulder et al., 2017)。Kutta and
325 Hubbart (2018) 对北美东部落叶林的研究发现，随着气候变暖和温度方差的改
326 变，导致物种组成处于不平衡状态。本研究利用温度方差来表征年内温度的波动，
327 发现 1961—2018 年，中国温度方差呈现明显的下降趋势，较大减小趋势的站点
328 主要分布在 III、IV 地区和 IV 地区的东部。温度方差的减小表明年内温度的波
329 动性减小，这与中国冬季气温上升幅度较大，夏季上升幅度较小有关 (Qian et al.,
330 2011)。而显著的冬季变暖会减少植被休眠期的低温积累，从而增加植被在春季
331 的热量需求，并降低春季物候对温度升高的敏感性 (Wang et al., 2020)。另一方
332 面，不同时期，中国温度方差具有明显的差异性。1961—1986 年，大多数站点
333 温度方差都表现为减小趋势，而 1986—2018 年，大多数站点的温度方差为增大
334 趋势。地表温度升高的背景下，温度方差的增加可能会引发更多的极端高温事件
335 (Zhu et al., 2017)。此外，Qi and Wang (2012) 对比分析了 1960—1989 年和 1990
336 —2009 年中国冬季和夏季平均气温的变化趋势，发现，1990 年以前，夏季平均
337 气温表现为变冷趋势，冬季平均气温为增加趋势，而 1990 年之后，中国冬季和
338 夏季平均气温均呈现明显变暖趋势。Qian and Zhang (2019) 研究发现 1998—

339 2013 年中国冬季气温变暖发生停滞。这些中国地表温度季节性变化特征进一步
340 解释了温度方差不同时期趋势的差异性。

341

342 5 结论

343 本研究利用平均温度, 温度方差和高温时间分别量化了均值偏移、变率增大、
344 对称性改变 3 个指标, 并结合线性回归模型和分段线性回归模型分析了 1961—
345 2018 年中国地表温度的时空变化特征。研究发现, 区域尺度上, 尽管在整个研
346 究期, 年平均地表温度呈现明显的增加趋势, 但在 1986 年前后存在两个趋势相
347 反的不同时期: 1986 年前, 平均温度为减小趋势, 而 1986 年后为显著增温趋势。
348 基于 1986 年这一转折点, 我们进一步分析了平均温度、高温时间和温度方差在
349 空间上的变化趋势。1961—1986 年, 约一半站点平均温度表现为下降趋势, 而
350 1986—2018 年, 平均温度呈现明显上升趋势。1961—1986 年和 1986—2018 年,
351 高温时间的空间变化差异不明显, 高温时间提前站点主要集中在亚热带地区。然
352 而, 温度方差在 1986 年前主要为减小趋势, 1986 年后为增加趋势。平均温度、
353 高温时间、温度方差趋势变化的区域差异性, 体现了不同地区在全球变暖的大背
354 景下, 对全球变化的敏感性不同。

355

356 参考文献 (References)

- 357 Anderegg W R L, Kane J M, Anderegg L D L. 2013. Consequences of widespread tree Mortality triggered by
358 drought and temperature stress [J]. Nat. Clim. Chang., 3(1): 30-36. <https://doi.org/10.1038/nclimate1635>
- 359 Cheng W, Li Z, Yan L. 2021. Uniforming spring phenology under non-uniform climate warming across latitude in
360 China [J]. Sci. Total Environ., 762(2): 143177-143177. <https://doi.org/10.1016/j.scitotenv.2020.143177>
- 361 Ding T, Ke Z. 2015. Characteristics and changes of regional wet and dry heat wave events in China during
362 1960-2013 [J]. Theor. Appl. Climatol., 122(3-4): 651-665. <https://doi.org/10.1007/s00704-014-1322-9>
- 363 Fan D Q, Zhu W Q, Zheng Z T, et al. 2015. Change in the Green-Up Dates for *Quercus mongolica* in Northeast
364 China and Its Climate-Driven Mechanism from 1962 to 2012 [J]. PLoS One, 10(6): 13.
365 <https://doi.org/10.1371/journal.pone.0130516>

- 366 Holst R, Yu X H, Grun C. 2013. Climate Change, Risk and Grain Yields in China [J]. *J. Integr. Agric.*, 12(7):
367 1279-1291. [https://doi.org/10.1016/s2095-3119\(13\)60435-9](https://doi.org/10.1016/s2095-3119(13)60435-9)
- 368 IPCC. 2012. Summary for policymakers. In Managing the risks of extreme events and disasters to advance climate
369 change adaptation. A Special Report of Working Groups I and II of the Intergovernmental Panel on
370 Climate Change [M]. Cambridge, UK and New York, NY: Cambridge University Press.
- 371 IPCC. 2013. Summary for policymakers. In Climate Change 2013: The Physical Science Basis. Contribution of
372 Working Group I to the Fifth Assessment Report of the Intergovernmental Panel on Climate Change [M].
373 Stocker T F, Qin D H, Plattner G K, et al., Eds. Cambridge, UK and New York, NY: Cambridge
374 University Press.
- 375 Kaab A, Chiarle M, Raup B, et al. 2007. Climate change impacts on mountain glaciers and permafrost [J]. *Glob.*
376 *Planet. Change*, 56(1-2): VII-IX. <https://doi.org/10.1016/j.gloplacha.2006.07.008>
- 377 Kendall M G. 1990. Rank Correlation Methods [J]. *Br. J. Psychol.*, 25(1): 86–91. <https://doi.org/10.2307/2333282>
- 378 Kutta E, Hubbart J A. 2018. Changing Climatic Averages and Variance: Implications for Mesophication at the
379 Eastern Edge of North America's Eastern Deciduous Forest [J]. *Forests*, 9(10): 605.
380 <https://doi.org/10.3390/f9100605>
- 381 Liu L, Zhang X. 2020. Effects of temperature variability and extremes on spring phenology across the contiguous
382 United States from 1982 to 2016 [J]. *Sci Rep*, 10(1). <https://doi.org/10.1038/s41598-020-74804-4>
- 383 Liu Q, Piao S L, Janssens I A, et al. 2018. Extension of the growing season increases vegetation exposure to frost
384 [J]. *Nat. Commun.*, 9(1): 426. <https://doi.org/10.1038/s41467-017-02690-y>
- 385 Liu Y, Qin Y, Ge Q. 2019. Spatiotemporal differentiation of changes in maize phenology in China from 1981 to
386 2010 [J]. *J. Geogr. Sci.*, 29(3): 351-362. <https://doi.org/10.1007/s11442-019-1602-5>
- 387 Liu Y, Wu C, Wang X, et al. 2021. Impacts of global change on peak vegetation growth and its timing in terrestrial
388 ecosystems of the continental US [J]. *Glob. Planet. Change*, 207: 103657.
389 <https://doi.org/https://doi.org/10.1016/j.gloplacha.2021.103657>
- 390 Mann H B. 1945. NONPARAMETRIC TESTS AGAINST TREND [J]. *Econometrica*, 13(3): 245-259.
391 <https://doi.org/10.2307/1907187>
- 392 Mulder C P H, Iles D T, Rockwell R F. 2017. Increased variance in temperature and lag effects alter phenological
393 responses to rapid warming in a subarctic plant community [J]. *Glob. Change Biol.*, 23(2): 801-814.
394 <https://doi.org/10.1111/gcb.13386>
- 395 Park T, Chen C, Macias-Fauria M, et al. 2019. Changes in timing of seasonal peak photosynthetic activity in
396 northern ecosystems [J]. *Glob. Change Biol.*, 25(7): 2382-2395.
397 <https://doi.org/https://doi.org/10.1111/gcb.14638>
- 398 Qi L, Wang Y Q. 2012. Changes in the Observed Trends in Extreme Temperatures over China around 1990 [J]. *J.*
399 *Clim.*, 25(15): 5208-5222. <https://doi.org/10.1175/jcli-d-11-00437.1>
- 400 Qian C, Fu C B, Wu Z H. 2011. Changes in the Amplitude of the Temperature Annual Cycle in China and Their
401 Implication for Climate Change Research [J]. *J. Clim.*, 24(20): 5292-5302.

- 402 Qian C, Zhang X B. 2019. Changes in Temperature Seasonality in China: Human Influences and Internal
403 Variability [J]. *J. Clim.*, 32(19): 6237-6249. <https://doi.org/10.1175/jcli-d-19-0081.1>

404 Salvucci M E, Crafts-Brandner S J. 2004. Inhibition of photosynthesis by heat stress: the activation state of
405 Rubisco as a limiting factor in photosynthesis [J]. *Physiol. Plant.*, 120(2): 179-186.
406 <https://doi.org/10.1111/j.0031-9317.2004.0173.x>

407 Shi P J, Sun S, Wang M, et al. 2014. Climate change regionalization in China (1961-2010) [J]. *Sci. China-Earth*
408 *Sci.*, 57(11): 2676-2689. <https://doi.org/10.1007/s11430-014-4889-1>

409 Sneyers R. 1990. On the Statistical Analysis of Series of Observations [J]. *J. Biol. Chem.*, 258(22): 13680-4.
410 <https://doi.org/10.1021/ja00723a061>

411 Toms J D, Lesperance M L. 2003. Piecewise regression: A tool for identifying ecological thresholds [J]. *Ecology*,
412 84(8): 2034-2041. <https://doi.org/10.1890/02-0472>

413 Ummenhofer C C, Meehl G A. 2017. Extreme weather and climate events with ecological relevance: a review [J].
414 *Philos. Trans. R. Soc. B-Biol. Sci.*, 372(1723): 13. <https://doi.org/10.1098/rstb.2016.0135>

415 Utsumi N, Seto S, Kanae S, et al. 2011. Does higher surface temperature intensify extreme precipitation? [J].
416 *Geophys. Res. Lett.*, 38(16): 239-255. <https://doi.org/10.1029/2011gl048426>

417 van de Pol M, Jenouvrier S, Cornelissen J H C, et al. 2017. Behavioural, ecological and evolutionary responses to
418 extreme climatic events: challenges and directions [J]. *Philos. Trans. R. Soc. B-Biol. Sci.*, 372(1723): 16.
419 <https://doi.org/10.1098/rstb.2016.0134>

420 Wang H J, Wu C Y, Ciais P, et al. 2020. Overestimation of the effect of climatic warming on spring phenology due
421 to misrepresentation of chilling [J]. *Nat. Commun.*, 11(1): 9.
422 <https://doi.org/10.1038/s41467-020-18743-8>

423 Wang X H, Piao S L, Ciais P, et al. 2011. Spring temperature change and its implication in the change of
424 vegetation growth in North America from 1982 to 2006 [J]. *Proc. Natl. Acad. Sci. U. S. A.*, 108(4):
425 1240-1245. <https://doi.org/10.1073/pnas.1014425108>

426 Wei H, Zhao X, Liang S, et al. 2018. Effects of Warming Hiatuses on Vegetation Growth in the Northern
427 Hemisphere [J]. *Remote Sens.*, 10(5): 683. <https://doi.org/10.3390/rs10050683>

428 Xu H J, Wang X P, Yang T B. 2017. Trend shifts in satellite-derived vegetation growth in Central Eurasia,
429 1982-2013 [J]. *Sci. Total Environ.*, 579: 1658-1674. <https://doi.org/10.1016/j.scitotenv.2016.11.182>

430 Yuan Q, Wu S, Zhao D, et al. 2021. Regional differences in surface air temperature changing patterns from 1960 to
431 2016 of China [J]. *Clim. Dyn.*, 57(7-8): 1733-1749. <https://doi.org/10.1007/s00382-021-05774-0>

432 Zhang G X, Su X L, Ayantobo O O, et al. 2021. Drought monitoring and evaluation using ESA CCI and
433 GLDAS-Noah soil moisture datasets across China [J]. *Theor. Appl. Climatol.*, 144(3-4): 1407-1418.
434 <https://doi.org/10.1007/s00704-021-03609-w>

435 Zhao D S, Gao X, Wu S H. 2021. Nonuniform variations of precipitation and temperature across China over the
436 period 1960-2015 [J]. *Int. J. Climatol.*, 41(1): 316-327. <https://doi.org/10.1002/joc.6622>

437

- 438 Zhao D S, Wu S H. 2016. Spatial and temporal variability of key bio-temperature indicators on the
439 Qinghai-Tibetan Plateau for the period 1961-2013 [J]. Int. J. Climatol., 36(4): 2083-2092.
440 <https://doi.org/10.1002/joc.4482>
- 441 Zhu J X, Huang G, Wang X Q, et al. 2017. Investigation of Changes in Extreme Temperature and Humidity Over
442 China Through a Dynamical Downscaling Approach [J]. Earth Future, 5(11): 1136-1155.
443 <https://doi.org/10.1002/2017ef000678>
- 444 Zhu M G, Fan B H. 2021. Exploring the Relationship between Rising Temperatures and the Number of
445 Climate-Related Natural Disasters in China [J]. Int. J. Environ. Res. Public Health, 18(2): 11.
446 <https://doi.org/10.3390/ijerph18020745>
- 447 傅伯杰, 田汉勤, 陶福禄, 等. 2017. 全球变化对生态系统服务的影响 [J]. 中国基础科学, 19(6): 14-18. Fu
448 Bojie, Tian Hanqin, Tao Fulu, et al. 2017. The Impact of Global Change on Ecosystem Services[J]. China
449 Basic Science (in Chinese), 19(6): 14-18. <https://doi.org/10.3969/j.issn.1009-2412.2017.06.003>
- 450 高庆九, 管兆勇, 蔡佳熙, 等. 2010. 两种再分析资料中夏季地表气温与中国测站资料的差异 [J]. 大气科学,
451 34(3): 471-482. Gao Qingjiu, Guan Zhaoyong, Cai Jiaxi, et al. 2010. Differences in 1958 - 2001 Summertime
452 Surface Air Temperatures between Two Reanalysis Data and Observations in China[J]. Chinese Journal of
453 Atmospheric Sciences (in Chinese), 34(3): 471-482. <https://doi.org/10.3724/SP.J.1037.2010.00186>
- 454 黄秉维. 1958. 中国综合自然区划的初步草案 [J]. 地理学报, 25(4): 348-365. Huang Bingwei. 1958. A
455 preliminary draft of comprehensive physical regionalization in China[J]. Acta Geographica Sinica (in
456 Chinese), 25(4): 348-365. <https://doi.org/10.11821/xb195804002>
- 457 蒋冲, 王飞, 穆兴民, 等. 2012. 1960~2011 年秦岭南北气温和降水变化对植被净第一性生产力的影响研究
458 [J]. 西北植物学报, 32(9): 1888-1896. Jiang Chong, Wang Fei, Mu Xingmin, et al. 2012. Effects of
459 Temperature and Precipitation Variation on Vegetation Net Primary Productivity in the Northern and Southern
460 Regions of the Qinling Mountains from 1960 to 2011[J]. Acta Botanica Boreali-Occidentalis Sinica (in
461 Chinese), 32(9): 1888-1896. <https://doi.org/10.3969/j.issn.1000-4025.2012.09.025>
- 462 卢爱刚, 庞德谦, 康世昌, 等. 2007. 全球升温下中国温度区域变化的稳定性 [J]. 生态环境学报, 16(2):
463 275-279. Lu aigang, Pang Deqian, Kang Shichang, et al. 2007. Regional stability of temperature change
464 across China under global warming[J]. Ecology and Environment Sciences (in Chinese), 16(2): 275-279.
465 <https://doi.org/10.3969/j.issn.1674-5906.2007.02.002>
- 466 蒲红铮, 韩添丁, 成鹏, 等. 2015. 天山南北坡流域气温时空变化特征 [J]. 高原气象, 34(3): 753-761. Pu
467 Hongzheng, Han Tianding, Cheng Peng, et al. 2015. Characteristics of Air Temperature in the Southern and
468 Northern Slopes of Tianshan Mountains[J]. Plateau Meteorology (in Chinese), 34(3): 753-761.
469 <https://doi.org/10.7522/j.issn.1000-0534.2015.00050>
- 470 王少鹏, 王志恒, 朴世龙, 等. 2010. 我国 40 年来增温时间存在显著的区域差异 [J]. 科学通报, 55(16):
471 1538-1543. Wang Shaopeng, Wang Zhiheng, Pu Shilong, et al. 2010. Regional differences in the timing of
472 recent air warming during the past four decades in China[J]. Chinese Science Bulletin (in Chinese), 55(16):
473 1538-1543. <https://doi.org/10.1007/s11434-010-3236-y>

- 474 吴绍洪, 刘文政, 潘韬, 等. 2016. 1960~2011 年中国陆地表层区域变动幅度与速率 [J]. 科学通报, 61(19):
475 2187-2197. Wu Shaohong, Liu Wenzheng, Pan Tao, et al. 2016. Amplitude and velocity of the shifts in the
476 Chinese terrestrial surface regions from 1960 to 2011[J]. Chinese Science Bulletin (in Chinese), 61(19):
477 2187-2197. <https://doi.org/10.1360/N972016-00051>
- 478 张妹婷, 翟永洪, 张志军, 等. 2017. 三江源区草地生态系统质量及其动态变化 [J]. 环境科学研究, 30(1):
479 75-81. Zhang Meiting, Zhai Yonghong, Zhang Zhijun, et al. 2017. Quality and Dynamic Changes of
480 Grassland Ecosystems in the Three-River Headwater Region[J]. Research of Environmental Sciences (in
481 Chinese), 30(1): 75-81. <https://doi.org/10.13198/j.issn.1001-6929.2017.01.48>
- 482 郑景云, 尹云鹤, 李炳元. 2010. 中国气候区划新方案 [J]. 地理学报, 65(1): 3-12. Zheng Jingyun, Yin Yunhe,
483 Li Bingyuan. 2010. A New Scheme for Climate Regionalization in China[J]. Acta Geographica Sinica (in
484 Chinses), 65(1): 3-12. <https://doi.org/10.11821/xb201001002>
- 485 中国气象局. 2003. 地面气候观测规范 [M]. 北京: 气象出版社. China Meteorological Administration. 2003.
486 Guideline of Surface Meteorological Observation (in Chinese) [M]. Beijing: China Meteorological Press.